

УДК 535.2

## ДИСПЕРСИЯ ПОПЕРЕЧНЫХ СМЕЩЕНИЙ ГЕОМЕТРООПТИЧЕСКИХ ЛУЧЕЙ В ПЛАВНО НЕОДНОРОДНЫХ СРЕДАХ С ФЛУКТУАЦИЯМИ ПОКАЗАТЕЛЯ ПРЕЛОМЛЕНИЯ

*Г. В. Пермитин, А. А. Фрайман*

Предложен способ расчета дисперсии поперечных смещений геометрооптических лучей, пригодный для плавной зависимости среднего показателя преломления среды от координат. Возможности метода иллюстрируются различными примерами.

Дисперсии флуктуаций фазы, углов прихода волн и поперечных смещений лучей являются важными характеристиками излучения, распространяющегося в средах со случайными неоднородностями. Хотя по своей сути эти характеристики являются геометрооптическими, область их применения выходит за рамки приближения геометрической оптики. Так, например, в работах [1-3] показано, что, зная решение задачи о распространении волнового пучка в регулярной плавно неоднородной среде и величину среднеквадратичных смещений луча, вызванных рассеянием на крупномасштабных неоднородностях, можно рассчитать распределение средней по ансамблю реализаций плотности энергии поля в областях фокусировки, т. е. в окрестности каустик. Более того, знание дисперсии фазы и поперечных смещений лучей позволяет воспроизводить приближенную структуру каустик флуктуирующего излучения, а следовательно, величину и распределение волнового поля в отдельных наиболее типичных реализациях [4].

При вычислении дисперсии флуктуаций фазы наличие регулярного изменения показателя преломления не вносит дополнительных принципиальных трудностей по сравнению со случаем постоянного значения средней диэлектрической проницаемости. Иначе обстоит дело с вычислением среднеквадратичных смещений луча (и связанной с ними дисперсии флуктуаций углов прихода волн). Стандартная методика [5-7], сводящаяся к интегрированию флуктуационного набега фазы вдоль невозмущенных лучей и определению производных фазового распределения по поперечным координатам, в принципе, может, конечно, быть обобщена на среды с изменяющимся средним значением показателя преломления, но при этом значительно возрастают вычислительные трудности в связи со сложностью краевой задачи для лучевых уравнений в неоднородной среде. В настоящей работе предлагается способ расчета дисперсии поперечных смещений лучей, основанный на усреднении решения упрощенного уравнения лучей в криволинейной системе координат, связанной с некоторым опорным лучом в регулярно неоднородной среде. Применимость предлагаемой методики определяется рамками малоуглового (параксиального) приближения: угол  $\theta$  между возмущенным лучом и опорным (невозмущенным) должен быть достаточно мал ( $\theta \ll 1$ ), отклонение луча от опорного должно быть мало по сравнению с характерным масштабом регулярной неоднородности среды (радиусом кривизны луча). Для простоты рассматривается двумер-

ная скалярная задача для монохроматического волнового поля  $U(x, z)$ , описываемого уравнением

$$\Delta U + k_0^2[\varepsilon_0(x, z) + \varepsilon_1(x, z)]U = 0, \quad (1)$$

где  $\varepsilon_0(x, z)$  — среднее значение диэлектрической проницаемости,  $\varepsilon_1(x, z)$  — флуктуации диэлектрической проницаемости. Предполагается, что  $|\varepsilon_1| \ll \varepsilon_0$  и что характерный масштаб регулярной неоднородности  $L$ , размер случайных неоднородностей  $l$  и длина волны в среде  $\lambda = 2\pi/k_0\sqrt{\varepsilon_0}$  удовлетворяют следующим неравенствам:

$$L \gg l \gg \lambda. \quad (2)$$

1. Семейство лучей, соответствующих волновому уравнению (1), описывается уравнением

$$\frac{d^2 \mathbf{r}}{d\tau^2} = \frac{1}{2} (\nabla \varepsilon_0 + \nabla \varepsilon_1). \quad (3)$$

Уравнение (3) имеет интеграл  $\left| \frac{d\mathbf{r}}{d\tau} \right|^2 = \varepsilon(\mathbf{r})$ , из которого следует, что переменная  $\tau$  связана с длиной луча  $s$  соотношением  $ds = \sqrt{\varepsilon} d\tau$  (в изотропной плазме  $\tau$  имеет смысл группового пути).

Пусть нам известен некоторый луч (опорный) в регулярной среде с  $\varepsilon = \varepsilon_0(\mathbf{r})$ , удовлетворяющий уравнению

$$\frac{d^2 \mathbf{r}_0}{d\tau^2} = \frac{1}{2} \nabla \varepsilon_0(\mathbf{r}) \quad (3')$$

с начальными условиями  $\mathbf{r}_0(0) = \mathbf{r}^{(0)}$ ,  $\frac{d\mathbf{r}_0}{d\tau}(0) = \mathbf{p}^{(0)}$ . Поперечное сме-

щение луча во флуктуирующей среде относительно опорного определяется выражением  $\sigma = (\mathbf{n}, \mathbf{r}_1 - \mathbf{r}_0)$ , где  $\mathbf{n}$  — вектор единичной нормали к опорному лучу,  $\mathbf{r}_1$  — решение (3), в окрестности точки  $\mathbf{r}^{(0)}$  совпадающее с опорным лучом  $\mathbf{r}_0$ . Дифференцируя  $\sigma$  два раза по  $\tau$ , используя (3), (3') и формулы Серре — Френе, отбрасывая члены второго порядка по  $\sigma$  и  $\varepsilon_1$ , получаем

$$\frac{d^2 \sigma}{d\tau^2} + \left[ \frac{3}{4} \frac{(\partial \varepsilon_0 / \partial n)^2}{\varepsilon_0} - \frac{1}{2} \frac{\partial^2 \varepsilon_0}{\partial n^2} \right] \sigma = \frac{1}{2} \frac{\partial \varepsilon_1}{\partial n}, \quad (4)$$

где производные  $\partial \varepsilon_0 / \partial n$  берутся в точке на опорном луче, т. е. при  $n = 0$ . Производная  $\partial \varepsilon_1 / \partial n$ , вообще говоря, должна браться на флуктуирующем луче, однако, в силу сделанных выше предположений о малости  $\varepsilon_1$  и плавности регулярных неоднородностей (2), величина  $\sigma$  мало меняется на расстояниях порядка радиуса корреляции флуктуаций диэлектрической проницаемости  $l$ , и  $\partial \varepsilon_1 / \partial n$  в (4) можно считать случайной функцией, локально зависящей только от  $\tau$ .

Однородное уравнение (4) (с  $\partial \varepsilon_1 / \partial n = 0$ ) является достаточно хорошо известным [8–10] уравнением для дифференциального нормального сечения лучевой трубки в неоднородной среде (в [8] оно записано в переменных  $(s, n)$  и содержит член с первой производной; в [10] дано обобщение этого уравнения на среды с кубичной нелинейностью). Фундаментальная система решений однородного уравнения (4)  $\sigma_1(\tau)$ ,  $\sigma_2(\tau)$  имеет простой физический смысл:  $\sigma_1(\tau)$  ( $\sigma_1(0) = 1$ ,  $\sigma_1'(0) = 0$ ) — дифференциальное сечение лучевой трубки, образованной первоначаль-

но параллельными лучами;  $\sigma_2(\tau)$  ( $\sigma_2(0) = 0$ ,  $\sigma_2'(0) = 1$ ) — сечение трубки, образованной лучами, расходящимися из одной точки. Вронскиан данной фундаментальной системы  $W = \sigma_1\sigma_2' - \sigma_1'\sigma_2 = 1$ .

Решение неоднородного уравнения (4) с нулевыми начальными условиями имеет вид

$$\sigma(\tau) = \frac{1}{2} \sigma_2(\tau) \int_0^\tau \frac{\partial \varepsilon_1}{\partial n}(x) \sigma_1(x) dx - \frac{1}{2} \sigma_1(\tau) \int_0^\tau \frac{\partial \varepsilon_1}{\partial n}(x) \sigma_2(x) dx. \quad (5)$$

Возводя (5) в квадрат и усредняя по ансамблю реализаций  $\varepsilon_1(\mathbf{r})$ , для среднего квадрата поперечных смещений получаем

$$\begin{aligned} \overline{\sigma^2}(\tau) = & \frac{1}{4} \iint_0^\tau \Gamma_{\varepsilon_1'}(x, y) [\sigma_2(\tau)\sigma_1(x) - \sigma_2(x)\sigma_1(\tau)] \times \\ & \times [\sigma_2(\tau)\sigma_1(y) - \sigma_2(y)\sigma_1(\tau)] dx dy, \end{aligned} \quad (6)$$

где  $\Gamma_{\varepsilon_1'}(x, y) = \overline{\frac{\partial \varepsilon_1}{\partial n}(x) \frac{\partial \varepsilon_1}{\partial n}(y)}$  — корреляционная функция нормальных к лучу производных от флуктуаций диэлектрической проницаемости. Делая в (6) стандартную замену переменных, считая длину трассы  $\tau \gg l$  и полагая, для конкретности, корреляционную функцию флуктуаций диэлектрической проницаемости гауссовой ( $\Gamma_{\varepsilon_1}(\mathbf{r}, \mathbf{r} + \Delta \mathbf{r}) = \overline{\varepsilon_1^2(\mathbf{r})} \exp\left[-\frac{\Delta r^2}{l^2(\mathbf{r})}\right]$ , где  $\overline{\varepsilon_1^2(\mathbf{r})}$ ,  $l(\mathbf{r})$  — плавные в масштабе  $l$  функции), можно упростить выражение для  $\overline{\sigma^2}(\tau)$ \*:

$$\overline{\sigma^2}(\tau) = \frac{\sqrt{\pi}}{2} \int_0^\tau \frac{\overline{\varepsilon_1^2}(x)}{l(x)} [\sigma_1(x)\sigma_2(\tau) - \sigma_1(\tau)\sigma_2(x)]^2 dx. \quad (7)$$

Нетрудно видеть, что в среде с  $\varepsilon_0 = 1$ ,  $\overline{\varepsilon_1^2} = \text{const}$ ,  $l = \text{const}$  фундаментальная система уравнения (4) имеет вид  $\sigma_1(\tau) = 1$ ,  $\sigma_2(\tau) = \tau$  и выражение (7) переходит в хорошо известное [5-7]

$$\overline{\sigma^2}(z) = \frac{\sqrt{\pi}}{6} \overline{\varepsilon_1^2} \frac{z^3}{l}. \quad (8)$$

Прежде чем переходить к рассмотрению конкретных примеров, сделаем одно очевидное замечание: член со второй производной от  $\varepsilon_0$  в (4) может иметь любой знак и, соответственно, оказывать фокусирующее либо дефокусирующее действие. Эффекты, связанные с кривизной лучей, всегда оказывают фокусирующее действие и ослабляют рост дисперсии поперечных смещений луча.

*Пример 1. Фокусирующая линзоподобная среда (волноводный канал)*

$$\varepsilon_0 = 1 - h^2 x^2.$$

Для опорного луча  $x = 0$  фундаментальная система решений однородного уравнения (4) имеет вид

\* Конкретный вид функции корреляции  $\Gamma_{\varepsilon_1}$  не является в данном случае принципиальным и сказывается только на значении коэффициента перед интегралом.

$$\sigma_1(\tau) = \cos h \tau, \quad \sigma_2(\tau) = \frac{1}{h} \sin h \tau. \quad (9)$$

Подставляя (9) в (7) и считая  $\bar{\varepsilon}_1^2 = \text{const}$ ,  $l = \text{const}$ , получаем

$$\bar{\sigma}^2(\tau) = \frac{\sqrt{\pi}}{2} \frac{\bar{\varepsilon}_1^2}{h^2 l} \frac{\tau}{2} \left( 1 - \frac{\sin 2h \tau}{2h \tau} \right). \quad (10)$$

На начальном участке трассы ( $2h \tau \ll 1$ ) выражение (10) совпадает с формулой (8) для регулярно однородной среды. На больших расстояниях ( $2h \tau \gg 1$ )  $\bar{\sigma}^2 = \frac{\sqrt{\pi}}{4} \frac{\bar{\varepsilon}_1^2}{h^2 l} \tau$ , т. е. рост дисперсии смещений луча существенно замедляется из-за фокусирующего действия регулярной неоднородности.

*Пример 2. Дефокусирующая линзоподобная среда (лучи Педерсена)*

$$\varepsilon_0 = a(z) + h^2 x^2.$$

Выбирая в качестве опорного луча кривую, совпадающую с максимумом параболического слоя (луч Педерсена [11]), имеем

$$\bar{\sigma}^2(\tau) = \frac{\sqrt{\pi}}{2} \frac{\bar{\varepsilon}_1^2}{h^2 l} \frac{\tau}{2} \left( \frac{\text{sh } 2h \tau}{2h \tau} - 1 \right), \quad (11)$$

где  $\tau = \int_0^z \frac{dz}{\sqrt{a(z)}}$ . На начальном участке трассы (11), как и (10), переходит в (8); однако при  $h \tau > 1$  дисперсия поперечных смещений луча экспоненциально нарастает вдоль трассы (выражение (11) применимо до тех пор, пока  $\bar{\sigma}^2 h^2 < 1$ ). Этот пример демонстрирует «неустойчивость» лучей Педерсена.

*Пример 3. Линейный слой диэлектрической проницаемости:*

$$\varepsilon_0(z) = 1 - \alpha z.$$

Для опорного луча, выходящего из плоскости  $z = 0$  под углом  $\theta_0$  к оси  $z$  ( $x = p_0 \tau$ ,  $z = \tau[q_0 - (\alpha \tau/4)]$ ), фундаментальная система решений уравнения (4) имеет вид

$$\begin{aligned} \sigma_1(\tau) &= \left( 1 - \frac{1}{2} \alpha \tau q_0 - \frac{1}{4} \alpha^2 \tau^2 p_0^2 \right) / \sqrt{\varepsilon_0(\tau)}, \\ \sigma_2(\tau) &= \tau \left( 1 - \frac{1}{2} \alpha \tau q_0 \right) / \sqrt{\varepsilon_0(\tau)}, \\ \varepsilon_0(\tau) &= 1 - \alpha \tau q_0 + \frac{1}{4} \alpha^2 \tau^2, \end{aligned} \quad (12)$$

где  $p_0 = \sin \theta_0$ ,  $q_0 = \sqrt{1 - p_0^2}$ .

Для описания статистических свойств среды выберем, для определенности, следующую модель:  $\bar{\varepsilon}_1^2(\mathbf{r}) = \nu^2 [1 - \varepsilon_0(\mathbf{r})]^2$ ,  $\nu = \text{const}$ ,  $l = \text{const}$ . Такая модель довольно часто употребляется при решении задач о распространении радиоволн в ионосфере Земли и соответствует предположению о пропорциональности флуктуаций электронной коэф-

центрации ее среднему значению. Подставляя  $\overline{\epsilon_1^2}(r)$  и (12) в (7), получаем

$$\overline{\sigma^2} = \frac{\sqrt{\pi}}{2} \frac{v^2}{\alpha^3 l} F(\alpha\tau), \quad (13)$$

$$F(y) = \frac{1}{\epsilon_0(y)} \int_0^y \frac{\left(q_0 t - \frac{1}{4} t^2\right)(y-t)^2 \left[1 - \frac{1}{2} q_0(y+t) + \frac{1}{4} yt\right]^2}{1 - q_0 t + \frac{1}{4} t^2} dt.$$

Интеграл в (13) вычисляется аналитически, но мы не будем приводить соответствующего довольно громоздкого выражения и ограничимся только графическим построением  $F(y)$  для различных углов падения  $\theta_0$  на рис. 1; звездочки на кривых указывают место касания невозмущенного луча каустики. Пунктиром на рис. 1 нанесена зависимость соответствующим образом нормированного среднего квадрата поперечных смещений луча в регулярно однородной среде с  $\epsilon_0 = 1$ ,  $\overline{\epsilon_1^2} = v^2$ . Как видно из рис. 1, в неоднородной среде дисперсия поперечных смещений лучей может сильно увеличиваться, особенно для лучей, выходящих под малыми углами  $\theta_0$  к градиенту диэлектрической проницаемости, поскольку они попадают в область малых значений  $\epsilon(y)$ . Использование для оценок формулы для однородной среды (8) может привести к неправильному результату.

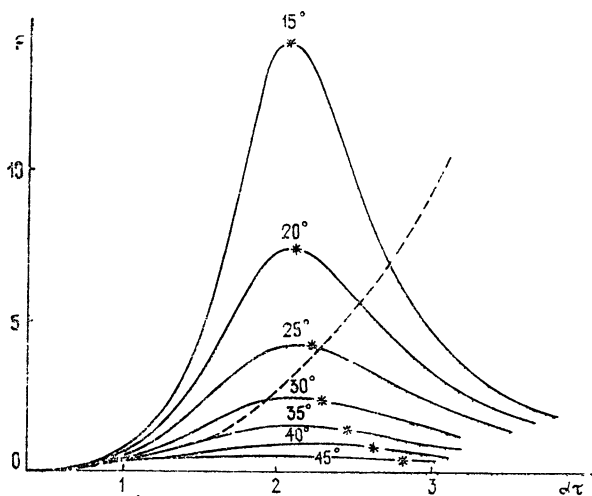


Рис. 1.

Из рассмотренных примеров следует, что в плавно неоднородной среде поведение среднего квадрата отклонений лучей определяется конкуренцией трех эффектов. Во-первых, это уменьшение диэлектрической проницаемости среды вдоль луча, приводящее к увеличению пространственного разноса лучей, вышедших из одной точки под углом друг к другу. Во-вторых, фокусирующее действие среды, приводящее к уменьшению роста  $\overline{\sigma^2}(\tau)$  с расстоянием. В-третьих, изменение угла рассеяния одинаковыми по величине неоднородностями, расположенными в различных местах лучевой трассы, из-за изменения диэлектрической проницаемости окружающей среды. В результате совместного дей-

ствия всех трех эффектов возникает специфическое для неоднородной среды поведение  $\overline{\sigma^2}(\tau)$ , зависимость которого от параметров задачи может быть рассчитана в малоугловом приближении по формуле (7).

2. Для иллюстрации эффектов, к которым может приводить обсуждавшееся выше поведение дисперсии флуктуаций поперечных смещений лучей, рассмотрим задачу о флуктуационном уширении гауссова волнового пучка, распространяющегося в плоском линейном слое диэлектрической проницаемости (пример 3).

Как показано в [2, 3], в малоугловом приближении, зная распределение волнового поля в некотором сечении пучка в регулярной (т. е. без учета флуктуаций показателя преломления) задаче и дисперсию поперечных смещений луча в этом сечении, можно рассчитать распределение средней плотности энергии флуктуирующего излучения в этом сечении:

$$\overline{|U(n, \tau)|^2} = \frac{1}{\sqrt{2\pi\sigma^2}} \int_{-\infty}^{\infty} |U_0(\xi, \tau)|^2 \exp\left[-\frac{(n - \xi)^2}{2\sigma^2(\tau)}\right] d\xi. \quad (14)$$

Считая распределение невозмущенного квадрата поля гауссовым с полушириной  $a$ ,  $|U_0(n, \tau)|^2 = |U_0(0, \tau)|^2 \exp\left[-\frac{n^2}{2a^2(\tau)}\right]$ , получаем из (14) следующее выражение для полуширины распределения средней плотности энергии флуктуирующего излучения\*:

$$a_{\text{фл}}^2 = a^2(\tau) + \overline{\sigma^2}(\tau). \quad (15)$$

В регулярно неоднородной среде первоначально гауссов пучок с полушириной  $a(\tau=0) = a_0$  остается гауссовым на протяжении всей трассы распространения, если выполнены условия безабберационного приближения, которые для линейного слоя имеют вид [9]

$$(k_0 L)^{1/3} \ll k_0 a_0 \ll (k_0 L)^{2/3}, \quad (16)$$

где  $L$  — величина порядка  $1/\alpha$ , зависящая, вообще говоря, от угла падения. В этом же приближении [9]

$$a^2(\tau) = a_0^2 \sigma_1^2 + \frac{4\sigma_2^2}{k_0^2 a_0^2}. \quad (17)$$

На рис. 2 нанесены зависимости  $a^2(\tau)$  (сплошная линия) и  $\overline{\sigma^2}(\tau)$  (пунктирная линия) от безразмерной длины  $\alpha\tau$  для следующих значений параметров:  $k_0 a_0 = 30$ ,  $\alpha a_0 = 3 \cdot 10^{-2}$ ,  $\alpha l \doteq 10^{-2}$ ,  $\gamma^2 = 10^{-5}$ ,  $\theta_0 = 30^\circ$ . Как видно из рис. 2, на начальном участке трассы ( $\alpha\tau < 1,4$ ) флуктуационным уширением можно пренебречь. Затем существует интервал расстояний ( $1,4 < \alpha\tau < 2,6$ ), где, в силу уменьшения регулярной ширины пучка  $a^2(\tau)$  и быстрого роста  $\overline{\sigma^2}$ , эти величины сравниваются, после чего полная ширина пучка начинает определяться только флуктуационным слагаемым в (15). Наконец, достаточно далеко ( $\alpha\tau \gg 2,6$ ) величина  $a^2$  за-за сильной дифракционной расходимости начинает резко нарастать, а  $\overline{\sigma^2}$ , наоборот, в силу обсуждавшихся выше причин, уменьшаться. В результате на больших расстояниях ширина распределения

\* Выражение (15) для статистически однородной среды было получено в работах [12, 13].

средней плотности энергии определяется регулярным слагаемым в (15)  $a(\tau)$ , хотя волновое поле, конечно, не становится при этом регулярным.

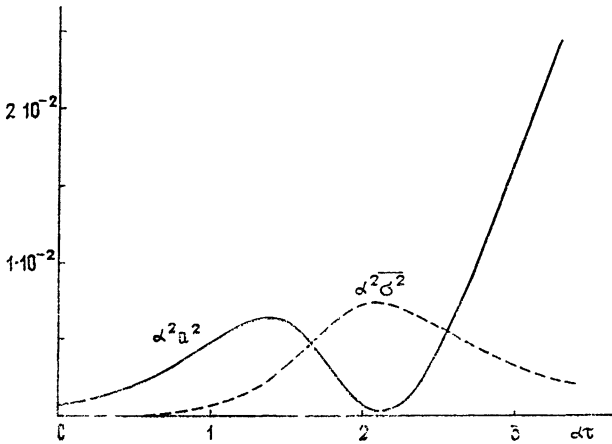


Рис. 2.

В заключение заметим, что если использованное в данной работе предположение о скалярности волнового поля не является определяющим, то двумерность исследуемой системы является принципиальной. В произвольной трехмерно неоднородной среде, где существенно не только кривизна, но и кручение лучей, порядок уравнения для поперечных смещений лучей повышается со второго до четвертого. Тем не менее, полученные здесь результаты применимы для довольно широкого класса реальных трехмерных систем, в которых лучи (регулярные) являются плоскими (или почти плоскими) кривыми. К таким системам относятся квазиплоские, квазцилиндрические и квазисферические слои типа, например, земной ионосферы.

## ЛИТЕРАТУРА

1. В. А. Баранов, Ю. А. Кравцов, Изв вузов — Радиофизика, 12, № 10, 1500 (1969).
2. Г. В. Пермитин, А. А. Фрайман, Изв вузов — Радиофизика, 12, № 12, 1836 (1969).
3. А. А. Фрайман, Изв вузов — Радиофизика, 16, № 8, 1235 (1973).
4. М. А. Миллер, Г. В. Пермитин, А. А. Фрайман, Изв. вузов — Радиофизика, 21, № 11, 1603 (1978).
5. Л. А. Чернов, Распространение волн в среде со случайными неоднородностями, изд. АН СССР, М., 1958.
6. В. И. Татарский, Распространение волн в турбулентной атмосфере, изд. Наука, М., 1967.
7. Л. А. Чернов, Волны в случайно-неоднородных средах, изд. Наука, М., 1975.
8. В. М. Бабич, В. С. Булдырев, Асимптотические методы в задачах дифракции коротких волн, изд. Наука, М., 1972.
9. Г. В. Пермитин, Изв. вузов — Радиофизика, 16, № 2, 254 (1973).
10. С. Н. Власов, С. Н. Гурбатов, Изв. вузов — Радиофизика, 19, № 8, 1149 (1976).
11. J. M. Kelso, Radio Ray Propagation in the Ionosphere, Mc Graw-Hill, 1964.
12. Л. С. Долин, Изв вузов — Радиофизика, 11, № 6, 840 (1968); 9, № 1, 61 (1966).
13. З. И. Фейзулин, Ю. А. Кравцов, Изв. вузов — Радиофизика, 10, № 1, 68 (1967).

DISPERSION OF TRANSVERSE SHIFTINGS OF GEOMETRICAL RAYS  
IN SMOOTHLY INHOMOGENEOUS MEDIA WITH FLUCTUATIONS OF THE  
REFRACTION INDEX

*G. V. Permitin, A. A. Fraiman*

A method of calculation is suggested for the dispersion of transverse shiftings of geometrical rays which is suitable for the smooth dependence of a medium average refraction index on the coordinates. Possibilities of the method is illustrated by different examples.

---

**Аннотации депонированных статей**

УДК 621.372.823

**О РАСПРОСТРАНЕНИИ СИММЕТРИЧНЫХ  $E$ -ВОЛН В КРУГЛОМ  
ДИЭЛЕКТРИЧЕСКОМ ВОЛНОВОДЕ, ПОКРЫТОМ РЕЗИСТИВНОЙ ПЛЕНКОЙ**

*С. Б. Раевский*

В статье приводятся результаты рассмотрения особенностей распространения симметричных  $E$ -волн в круглом диэлектрическом волноводе, покрытом резистивной пленкой. Описывается поведение решений дисперсионного уравнения в комплексной плоскости поперечных волновых чисел, приводятся дисперсионные характеристики и характеристики затухания. Определяются области существования поверхностных, вытекающих волн и несобственных волн Зоммерфельда. Показывается, что общей особенностью симметричных волн в круглом диэлектрическом волноводе, покрытом резистивной пленкой, является расширение области существования замедленных несобственных волн (сужение области вытекающих волн) при увеличении проводимости пленки и уменьшении относительной диэлектрической проницаемости волновода.

*Статья депонирована в ВИНТИ,  
рег. № 93-80. Деп. от 7 января 1980 г.*